



# **Pohjan Voima Oy**

## Lehmikorven tuulivoimahanke

Tuulivoimapuiston meluselvitys

16.12.2024

Copyright © AFRY Finland Oy

Kaikki oikeudet pidätetään. Tätä asiakirjaa tai osaa siitä ei saa kopioida tai jäljentää missään muodossa ilman AFRY Finland Oy:n antamaa kirjallista lupaa.

AFRY Finland Oy:n projektinumero on 101024341-007.

Kannen kuva: © AFRY

Selvityksessä on käytetty Maanmittauslaitoksen ja Suomen ympäristökeskuksen avoimien aineistojen käyttö lupien alaista materiaalia, jotka on lisensoitu Creative Commons Nimeä 4.0 Kansainvälinen -lisenssillä: <http://creativecommons.org/licenses/by/4.0/deed.fi>.

## YHTEYSTIEDOT

Hankkeesta vastaava:

**Pohjan Voima Oy**

Sami Merelä

sami.merela@pohjanvoima.fi

Tekijä:

**AFRY Finland Oy**

Helmi Uusitalo

helmi.uusitalo@afry.com

Wind and Solar Finland

[www.afry.com](http://www.afry.com)

Raportin tiedot:

Projektinumero: 101024341-007

Raporttiversio: 000

Raportin tila: VALMIS

Raporttihistoria:

Versio	Pvm/Laatija	Pvm/Tarkastaja	Merkinnät/Muutokset
000	16.12.2024/ Helmi Uusitalo, Technical consultant	16.12.2024/ Erkki Heikkola, Senior consultant	Alkuperäinen

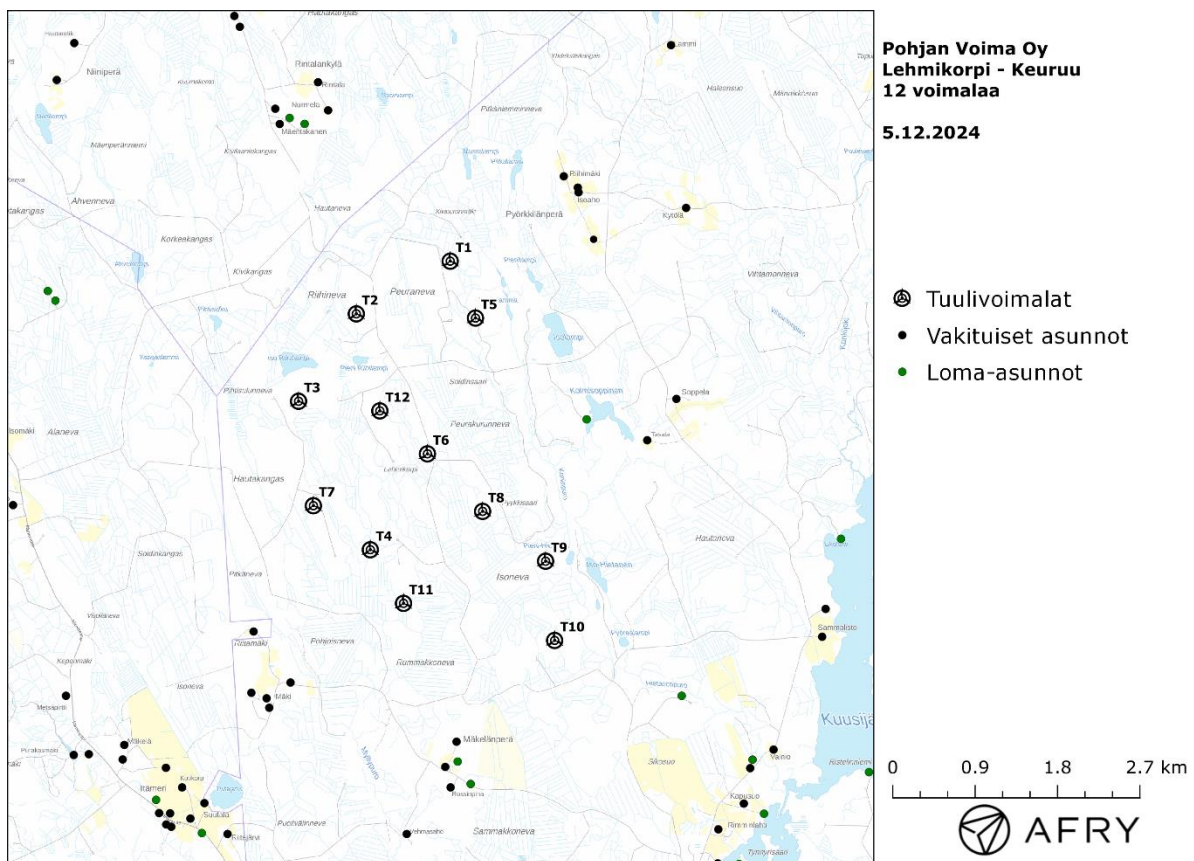
## SISÄLLYS

1	JOHDANTO .....	5
2	TUULIVOIMALOIDEN MELU .....	7
2.1	Yleistä tuulivoimamelusta .....	7
2.2	Melumallinnusohjeistus.....	8
2.3	Ohjearvot .....	9
2.4	Sisämelutasojen arviointi .....	10
3	TUULIVOIMAKOHTTEEN MELUMALLINNUS.....	11
3.1	Keskiäänitasojen LAeq mallinnus .....	11
3.2	Matalataajuisen melun mallinnus .....	15
4	YHTEENVETO.....	17
5	VIITTEET .....	18
6	MELUMALLINNUKSEN TIEDOT .....	19

# 1 JOHDANTO

Selvityksessä arvioidaan Keuruun kaupunkiin suunnitellun Lehmikorven tuulivoimapuiston aiheuttamaa meluvaikutusta laskennallisten mallien avulla. Lehmikorven tuulivoimapuistolle käytetään 12 voimalan suunnitelmaa. Voimaloiden sijainnit on esitetty karttapohjalla kuvassa (Kuva 1-1) ja koordinaatit annettu taulukossa (Taulukko 1-1).

Mallinuksissa voimaloille on käytetty napakorkeutta 200 m ja tuulivoimalatyyppin V172 7,2 MW Mode PO7200 (with serrated trailing edges) taajuusjakaumaa äänitehotasolla 109,8 dB(A) (tuulivoimalavalmistajan ilmoittama maksimiäänitehotaso 107,8 dB(A) + varmuusarvo 2 dB(A)). Tuulivoimalatyyppin melupäästön tunnusarvoa ei pystytä tässä yhteydessä määrittämään standardin IEC TS 61400-14 mukaisesti, joten ilmoitettuun melupäästön lukuarvoon lisätään 2 dB tunnusarvon saamiseksi. Näin määriteltynä selvityksessä käytetyt lähtömelutasot ovat ympäristöministeriön mallinnusohjeistuksen mukaisia melupäästön tunnusarvoja.



**Kuva 1-1: Tuulivoimaloiden sijainnit Lehmikorven hankealueella.**

**Taulukko 1-1: Tuulivoimaloiden (12 kpl) sijaintikoordinaatit ETRS-TM35FIN-koordinaatissa ja maaston korkeus tuulivoimalan paikalla.**

Tuulivoimalat	E	N	Maaston korkeus [m]
T1	347991	6919701	184
T2	346979	6919129	197
T3	348557	6919181	199
T4	347658	6918471	169
T5	346348	6918175	189
T6	347990	6917712	179
T7	346510	6917035	188
T8	348359	6916973	173
T9	347132	6916554	171
T10	349145	6916483	173
T11	347580	6915912	161
T12	349146	6915564	190

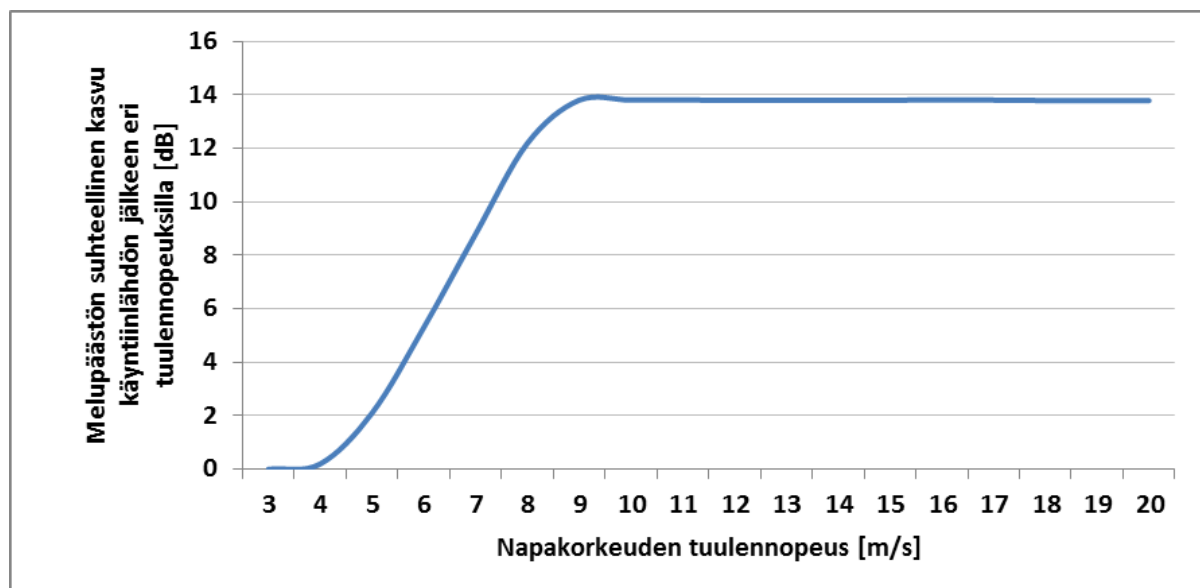
## 2 TUULIVOIMALOIDEN MELU

### 2.1 Yleistä tuulivoimamelusta

Tuulivoimalaitosten käyntiääni koostuu pääosin laajakaistaisesta lapojen aerodynaamisesta melusta sekä hieman kapeakaistaisemmasta sähköntuotantokoneiston yksittäisten osien aiheuttamasta melusta, johon kuuluvat muun muassa vaihteisto, generaattori sekä jäähdytysjärjestelmät. Tuulivoimaloiden aerodynaaminen melu on hallitsevin äänilähde, joka kattaa noin 90 prosenttia kokonaisäänienergiasta lapojen suuren vaikutuspinta-alan vuoksi [14]. Tuulivoimamelu on A-taajuusjakaumaltaan painottunut tyypillisesti 200–1000 Hz:n väliin.

Modernit kolmilapaiset tuulivoimalaitokset ovat nykyisin ylävirtalaitoksia, joissa siivistö sijaitsee tuulen etupuolella suhteessa voimalan torniin. Katsottaessa aerodynaamisen melun suuntaavuutta ylhäältä käsin on siivistön äänitaso sivutuulen puolelta noin 4–6 dB alhaisempi kuin tuulen ylä- ja alapuolilla samalla etäisyydellä [17].

Vaihtuvanopeuksisen tuulivoimalan äänipäästö on suoraan verrannollinen tuulennopeuteen siten, että alhaisilla tuulilla eli hitaalla roottorin pyörimisnopeudella ja lähellä käyntiinlähön nopeutta lähtöäänitaso on usein noin 10–15 dB alhaisempi kuin voimalan nimellisteholla, jossa roottori saavuttaa suurimman kierrosnopeuden (Kuva 2-1).



**Kuva 2-1: Esimerkkikuva äänipäästön kasvusta napakorkeuden tuulennopeuden mukaan. Äänitason nousu tasoittuu n. 10 m/s voimalan napakorkeudella mitatun tuulennopeuden jälkeen.**

Äänipäästön  $L_{WA}$  huipputaso saavutetaan tyypillisesti voimalan nimellistehotasolla, joka tarkoittaa tyypillisesti yli 10 m/s tuulennopeutta napakorkeudella voimalamallista ja etenkin tornikorkeudesta riippuen. Tuulennopeuden edelleen kasvaessa tuulivoimalan siipikulmasäätö tasoittaa äänitehotason nousun roottorin pyörimisnopeuden pysyessä ennallaan.

Taustamelu, kuten liikennemelu ja teollisuusmelu sekä tuulen tuottama aallokko- ja puustokohina, peittävät tuulivoimaloiden melua, mutta peittoäänet ovat ajallisesti ja tasoltaan vaihtelevia. Tuulikohina esimerkiksi puustossa on taajuuskaistaltaan laajakaistaista ja tuulensuunnasta, puulajeista, vuodenajasta ja tuulennopeudesta riippuva. Puustokohinan äänitaso mittauskorkeudella 1,5 m voi nousta kuitenkin tuulennopeuden mukaan kokemukseräisesti jopa yli 60 dB:n tasolle [16].

Ilmakehän pystysuuntaisen stabiilisuuden ja ilmapirran turbulenssin vaihtelut vuorokauden eri aikoina voivat vaikuttaa tuulisuuden tasoon eri korkeuksilla [15]. Ilmakehän neutraalin stabiilisuuden vallitessa 8 m/s tuulennopeus 10 metrin korkeudella vastaa korkeudella 100 m nopeutta 12 m/s, korkeudella 160 m nopeutta 14 m/s ja korkeudella 200 m nopeutta 15 m/s.

Moderneissa tuulivoimalaitoksissa melun lähtöäänitasoa voidaan kontrolloida erillisellä optimointisäädöllä, jonka avulla kellonajan, tuulensuunnan ja tuulennopeuden mukaan säädetään lapakulmaa haluttuun pyörimisnopeuteen ja melutasoon. Tällä säädöllä on kuitenkin vaikutuksia voimalan sen hetkiseen tuotantotehoon. Modernit voimalamallit sisältävät usein myös siiven jättöreunan sahalaidoituksen, joka vähentää melupäästöä nimellisteholla tällä hetkellä noin 2–3 dB ja tulevaisuudessa vieläkin enemmän serraatioiden tuotekehityksen johdosta [13].

Tarkempia taustatietoja tuulivoimaloiden aiheuttaman melun syntymekanismeista, luonteesta ja vaikutuksista on koottuna julkaisuihin [1], [2] ja [5].

## 2.2 Melumallinnusohjeistus

Ympäristöministeriö on julkaissut 28.2.2014 ohjeen tuulivoimaloiden melun mallintamiseen [7]. Ohjeessa on annettu tietoja mallinnusmenettelyistä arvioitaessa tuulivoimaloiden aiheuttamaa melukuormitusta ympäristönsuojelulain täytäntöönpanossa ja soveltamisessa sekä maankäyttö- ja rakennuslain mukaisissa menettelyissä. Ohjeissa määritellään yksityiskohtaisesti käytettävät mallit, niiden parametrit ja lähtötiedot sekä tulosten esittämis tavat. Yksityiskohtainen ohjeistus on koettu tarpeelliseksi, jotta mallinnustulokset olisivat aina tekijöistä riippumatta vertailukelpoisia keskenään. Tämän raportin melumallinnus on toteutettu ympäristöministeriön mallinnusohjeistuksen mukaisesti.

Melumallinnuksen lähtötietona tulisi käyttää teknisen spesifikaation IEC TS 61400-14 mukaista tuulivoimalan melupäästön tunnusarvoa (declared value)  $L_{WAd}$ . Se määritellään standardin IEC 61400-11 mukaisissa mittauksissa äänitehotasoksi, jonka varmuus melupäästön mahdollisessa verifiointissa on 95 %. Tunnusarvo koostuu mitatusta keskimääräisestä äänitehotasosta  $L_{WA}$  sekä varmuusarvosta  $K$ , joka vastaa voimalatyyppien melutason vaihteluväliä 95 %:n varmuudella.

Äänitehotasot on ilmoitettava 1/3-oktaaveittain keskitaajuuksilla 20–10000 Hz ja oktaaveittain keskitaajuuksilla 31,5–8000 Hz, ja ne tulee olla saatavilla 10 m:n referenssikorkeutta vastaavilla tuulen nopeuksilla 8 m/s ja 10 m/s. Melumallinnuksen epävarmuus on tarkastelussa ja ohjeistuksessa sisällytetty laskennassa käytettyyn tuulivoimaloiden melupäästön arvoon, jolloin mallinnustuloksia voidaan suoraan verrata suunnitteluohjearvoihin ilman erillistä epävarmuustarkastelua, ja äänen etenemisen ja ympäristöolosuhteiden mallinnukseen voidaan käyttää vakioituja sää- ja ympäristöolosuhdearvoja.

Melun häiritsevyyteen vaikuttaa äänitasojen lisäksi melupäästöön mahdollisesti liittyvät erityisen häiritsevät melukomponentit: melun kapeakaistaisuus, melun impulssimaisuus ja merkityksellinen sykintä (nk. amplitudimodulaatio). Melun impulssimaisuuden ja merkityksellisen sykinän vaikutukset oletetaan sisältyvän valmistajan ilmoittamiin melupäästön tunnusarvoihin, eikä mallinnusohjeistuksessa edellytetä niiden erillistä tarkastelua.

Äänen etenemislaskennassa käytetään ohjeen mukaisia standardiin ISO 9613-2 perustuvia sää- ja ympäristöolosuhdearvoja. Maaston pinnan laatu ja muoto otetaan mallinnuksessa erillisinä huomioon. Lisäksi matalataajuisten äänen eteneminen tulee mallintaa erikseen ohjeistuksessa määritellyn erillislaskennan avulla, joka perustuu Tanskassa annettuun



ohjeistukseen, jonka parametreja on mukautettu Suomen olosuhteisiin [3]. Laskennassa otetaan huomioon geometrinen etäisyysvaimennus sekä ohjeistuksen mukaiset ilmakehän absorptio ja maastovaikutuksen parametrit. Matalataajuisen äänen tarkastelu tehdään erikseen 1/3-oktaaveittain taajuusalueella 20–200 Hz melulle merkittävimmin altistuvien kohteiden (rakennusten) ulkopuolella. Laskennan tarkoituksena on tuottaa tieto ulkomelutasoista terssikaistoittain, ja niiden perusteella voidaan arvioida rakennuksen sisämelutaso oletetulla ääneneristävyydellä.

## 2.3 Ohjearvot

Valtioneuvoston 1.9.2015 voimaan astunut asetus 1107/2015 määrittää tuulivoimaloiden aiheuttaman ulkomelutason ohjearvot [9]. Päätöstä sovelletaan meluhaittojen ehkäisemiseksi ja ympäristön viihtyisyyden turvaamiseksi maankäytön, liikenteen ja rakentamisen suunnittelussa sekä rakentamisen lupamenettelyissä. Ohjearvot määritetään melun A-painotettuina päivä- (klo 07–22) ja yöajan (klo 22–07) ekvivalenttimelutasoina ulkoalueille asumiseen käytettävillä alueilla. Valtioneuvoston asetus korvaa aiemmat ympäristöministeriön suosittelemat suunnitteluarvot tuulivoimaloiden ulkomelutasoille [8].

Valtioneuvoston aiemmassa melutasoihin liittyvässä päätöksessä 993/1992 on annettu luonnonsuojelualueille päiväajan ohjearvo 45 dB(A) ja yöajan ohjearvo 40 dB(A) [10]. Tuulivoimameluasetuksen 1107/1/2015 perustelumuiden mukaan asetusta ei sovelleta kaikilla luonnonsuojelualueilla, vaan ainoastaan yleiselle virkistyskäytölle tärkeillä luonnonsuojelualueilla, joille on rakennettu käyttöä palvelevia polkuja ja muita rakenteita. Aiemman melupäätöksen 993/1992 luonnonsuojelualueiden ohjearvoja ei siis tuulivoimamelun osalta sovellettaisi.

Kun laskennallisia melutasoja verrataan valtioneuvoston asetuksen ohjearvoihin, lasketuun melutasoon ei tehdä korjausta melun impulssimaisuuden tai kapeakaistaisuuden vuoksi. Ympäristöministeriön melumallinnusohjeistuksen [7] mukaan näiden vaikutusten oletetaan lähtökohtaisesti sisältyvän valmistajan ilmoittamiin melupäästön tunnusarvoihin, joita käytetään laskennan lähtötietoina. Sen sijaan valvonnan yhteydessä tehtäviin mitaustuloksiin lisätään 5 dB ennen valtioneuvoston ohjearvoon vertaamista, mikäli tuulivoimalan ääni sisältää kapeakaistaisia tai impulssimaisia komponentteja. Valtioneuvoston ohjearvot on koottu taulukkoon (Taulukko 2-1).

**Taulukko 2-1: Mallinnustulosten arvioinnissa sovellettavat valtioneuvoston asetuksen mukaiset ohjearvot.**

Tuulivoimamelun ohjearvot	LA <sub>eq</sub> päiväajalle (klo 7–22)	LA <sub>eq</sub> yöajalle (klo 22–7)
Pysyvä asutus, Loma-asutus, Hoitolaitokset, Leirintäalueet	45 dB	40 dB
Oppilaitokset, Virkistysalueet	45 dB	-
Kansallispuistot	40 dB	40 dB

Sosiaali- ja terveysministeriö on määrittänyt 15.5.2015 voimaan astuneessa asumisterveysasetuksessa toimenpiderajat matalataajuiselle yöaikaiselle melulle sisätiloissa [6]. Melun toimenpiderajat on annettu terssikaistoittain painottamattomille tunnin keskiäänitasoille, ja ne on lueteltu taulukossa (Taulukko 2-2). Ohjeistuksen mukaiset mallinnustulokset vastaavat matalataajuisen melun tasoa ulkotiloissa, joten ne eivät ole suoraan verrannollisia Asumisterveysasetuksen arvoihin. Ulkomelutasojen avulla voidaan kuitenkin

arvioida sisämelutasoja, kun rakennuksen vaipan ääneneristävyys tunnetaan riittävällä tarkkuudella.

**Taulukko 2-2: Asumisterveysasetuksen toimenpiderajat sisämelulle terssikaistoittain. Desibeliarvot ovat taajuuspainottamattomia.**

Taajuus [Hz]	20	25	31,5	40	50	63	80	100	125	160	200
Äänitaso $L_{eq,1h}$ [dB]	74	64	56	49	44	42	40	38	36	34	32

## 2.4 Sisämelutasojen arviointi

Asumisterveysasetuksessa 545/2015 annetaan matalien taajuuksien 20–200 Hz tunnin keskiäänitasojen (Taulukko 2-2) lisäksi toimenpiderajat päivä- ja yöajan kokonaismelutasoille sisätiloissa. Päiväaikainen (klo 07-22) keskiäänitaso ei saa ylittää 35 dB(A) ja yöaikainen (klo 22-07) keskiäänitaso 30 dB(A). Lisäksi yöaikainen musiikkimelu tai muu vastaava mahdollisesti unihäiriötä aiheuttava melu, joka erottuu selvästi taustamelusta, ei saa ylittää 25 dB yhden tunnin keskiäänitasona  $L_{eq,1h}$  mitattuna niissä tiloissa, jotka on tarkoitettu nukkumiseen.

Ympäristöministeriön melumallinnusohjeet eivät sisällä erillisiä ohjeita sisämelun kokonaismelutason mallintamiseksi. Yöajan sisämelun toimenpiderajojen oletetaan kuitenkin alittuvan, mikäli melumallinnuksen antamat ulkomelutasot sekä matalataajuisen sisämelun tasot alittavat valtioneuvoston asetuksen ohjearvot ja asumisterveysasetuksen toimenpideravot. Ympäristöministeriön asetuksen 796/2017 mukaan uudisrakennusten ulkovaipan ääneneristyksen on oltava vähintään 30 dB. Jos tuulivoimaloiden aiheuttama ulkomelutaso alittaa 40 dB(A), niin sisämelutaso pysyy uudisrakennuksilla selkeästi toimenpiderajan alapuolella. Vanhemmat rakennukset eivät kuitenkaan välttämättä toteuta uuden asetuksen vaatimustasoa.

Suomalaisten asuinrakennusten ääneneristävyttä on tutkittu artikkelissa [4], jossa on esitetty taajuuskohtaiset äänitasoerot matalille taajuuskaistoille 20-200 Hz. Artikkelin arvot (Taulukko 3-3) on määritetty tilastollisesti niin, että ne ylittyvät 84 % todennäköisyydellä suomalaisissa pientaloissa, ja niitä on käytetty tässä selvityksessä matalataajuisen sisämelutasojen arviointiin. Rakennusten ilmaäänieristyksen keskimääräinen profiili kasvaa korkeammille taajuuksille mentäessä, jonka perusteella mallinnusohjeistuksen mukainen sisämelujen arviointi tehdään vain matalille taajuuksille. Jos matalataajuisen sisämelun tasojen todetaan pysyvän annetuissa toimenpiderajoissa, myös kokonaismelun tasot pysyvät todennäköisesti raja-arvojen alapuolella.

## 3 TUULIVOIMAKOHTTEEN MELUMALLINNUS

### 3.1 Keskiäänitasojen LAeq mallinnus

Tuulivoimaloiden aiheuttaman keskiäänitason mallinnus on suoritettu laskentastandardin ISO 9613-2 mukaisesti AFRY Numerola -mallinnusohjelmistolla. Mallinnuksessa on käytetty V172 7.2 MW PO7200 (with serrated trailing edges) taajuusjakaumia. Taajuusjakaumat on saatu seuraavista tuulivoimalavalmistajan dokumenteista:

- Third octave noise emission EnVentus™ V172. Document no. 0128-4336\_01. 2024-11-29.

Dokumentissa esitetyt melutiedot perustuvat tuulivoimalatyypillä V172 tehtyihin testimitauksiin. Dokumentissa ilmoitettuihin melutasoihin on lisätty ympäristöministeriön 14.9.2016 antaman lisäohjeistuksen mukainen 2 dB:n varmuusarvo [11]:

”Takuuarvoa ei ole aina esitetty dokumentissa IEC 61400-14 standardin määrittämällä tavalla ja takuuarvo joudutaan tällöin arvioimaan hankekehittäjän tai meluselvitystä tekevän konsultin toimesta. Tässä tapauksessa laskeminen tulee suorittaa IEC 61400-14 mukaisesti. Mikäli takuuarvoa ei ole mahdollista määrittää standardin IEC 61400-14 mukaisesti, tulee tuulivoimalan melupäästön lukuarvoon lisätä varmuusarvona 2 dB takuuarvon saamiseksi.”

Tuulivoimalatyypin V172 7.2 MW PO7200 äänitehotaso on 107,8 dB(A). Mallinuksissa voimaloille on käytetty äänitehotasoa 109,8 dB(A). Mallinuksissa käytetyt taajuusjakaumat vastaavat tuulennopeutta 15 m/s napakorkeudella 200 m, jonka arvioidaan vastaavan melumallinnusohjeistuksen mukaista referenssinopeutta 8 m/s 10 m korkeudella. Tuulivoimaloiden melun impulssimaisuuteen tai amplitudimodulaatioon liittyvää sanktiota ei ole käytetty mallinuksissa.

Tuulivoimalatyypin melupäästön kapeakaistaisuuden arvioinnissa on käytetty ympäristöministeriön raportissa Ympäristömelun mittaaminen [12] esitettyä yksinkertaista menetelmää, joka perustuu äänitehotasojen vertailuun terssikaistoittain (1/3-oktaaveittain). Melun tulkitaan olevan kapeakaistaista, mikäli ainakin yhden terssikaistan äänitehotaso on vähintään 5 dB suurempi kuin välittömästi kyseisen kaistan ala- ja yläpuolella olevien terssikaistojen tasot. Luvussa 6 esitettyjen melun taajuusjakaumien mukaan tämä ehto ei toteudu, joten melun kapeakaistaisuuteen liittyvää sanktiota ei ole käytetty.

Maaston korkeusaineistona on käytetty Maanmittauslaitoksen aineistoa *Korkeusmalli 2 m*, jonka pystysuuntainen tarkkuus on 0,3 m ja vaakasuuntainen resoluutio 2 m. Melutasot tuulivoimaloiden ympäristössä laskettiin hilapisteistöön, jonka korkeus on (ohjeistuksen mukaisesti) 4 m maanpinnasta ja vaakaresoluutio 10 m. Ilmakehän absorptio aiheuttama vaimennus, äänen suuntaavuus ja sääolosuhteiden vaikutus äänen etenemiseen on määritetty ympäristöministeriön ohjeistusten mukaisesti. Tuulivoimalan sijoituspaikan ympäristössä maaston vaikutuskerroin on ollut maa-alueilla 0,4 ja vesialueilla 0,0. Mallinnusohjeistuksen mukaisesti tuulivoimalan melupäästöön lisätään 2 dB, mikäli voimalan ja melulle altistuvan kohteen välinen korkeusero ylittää 60 m. Akustisen laskennan lähtötiedoista ja parametreista on tehty yhteenveto lukuun 6.

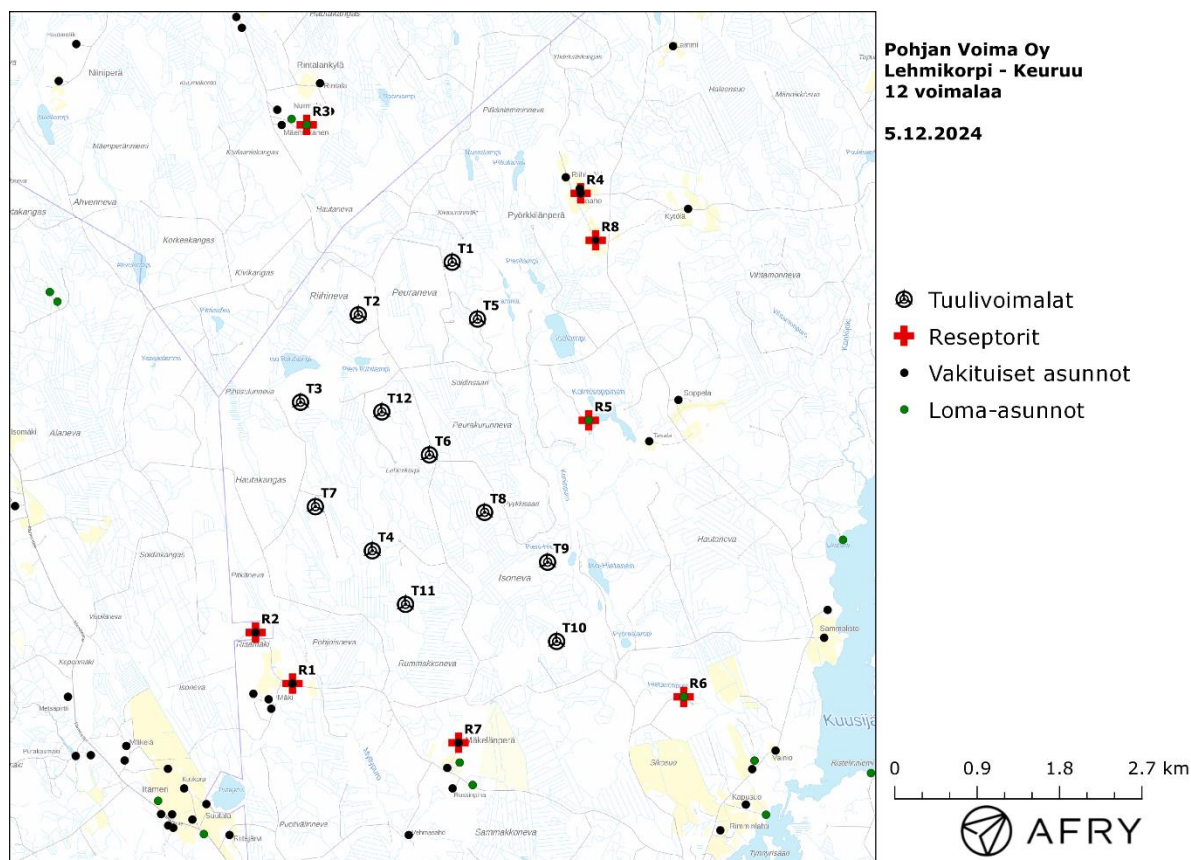
Taulukossa (Taulukko 3-1) on määritelty tuulivoimaloiden ympäristöstä 8 pistettä, joiden kohdilla keskiäänitason LAeq ja matalataajuuden melun tasoja tarkastellaan tarkemmin. Pisteet on valittu asuntojen kohdilta, joihin kohdistuu suurin meluvaikutus. Näitä pisteitä

kutsutaan reseptoreiksi, ja niiden paikat suhteessa tuulivoimaloihin on esitetty karttapohjalla (Kuva 3-1). Reseptorit sijaitsevat noin 1,5-2,1 km etäisyydellä voimaloista.

Hankealueella, noin 520 metriä voimalan T2 kaakkoispuolella sijaitsee myös rakennus- ja huoneistotietorekisterin mukaisia muita kuin asuin- tai lomarakennuskäyttöön tarkoitettuja rakennuksia. Muita kuin asuin- tai lomarakennuksia ei ole otettu huomioon meluvaikutusten arvioinnissa.

**Taulukko 3-1: Reseptorien koordinaatit ETRS-TM35FIN-koordinaatistossa.**

Reseptori	E	N	Maaston korkeus [m]	Rakennusluokitus
R1	346261	6915103	177	vakituinen asunto
R2	345858	6915660	187	vakituinen asunto
R3	346416	6921201	203	loma-asunto
R4	349409	6920454	189	vakituinen asunto
R5	349497	6917976	175	loma-asunto
R6	350535	6914957	159	loma-asunto
R7	348075	6914457	185	vakituinen asunto
R8	349573	6919941	191	vakituinen asunto

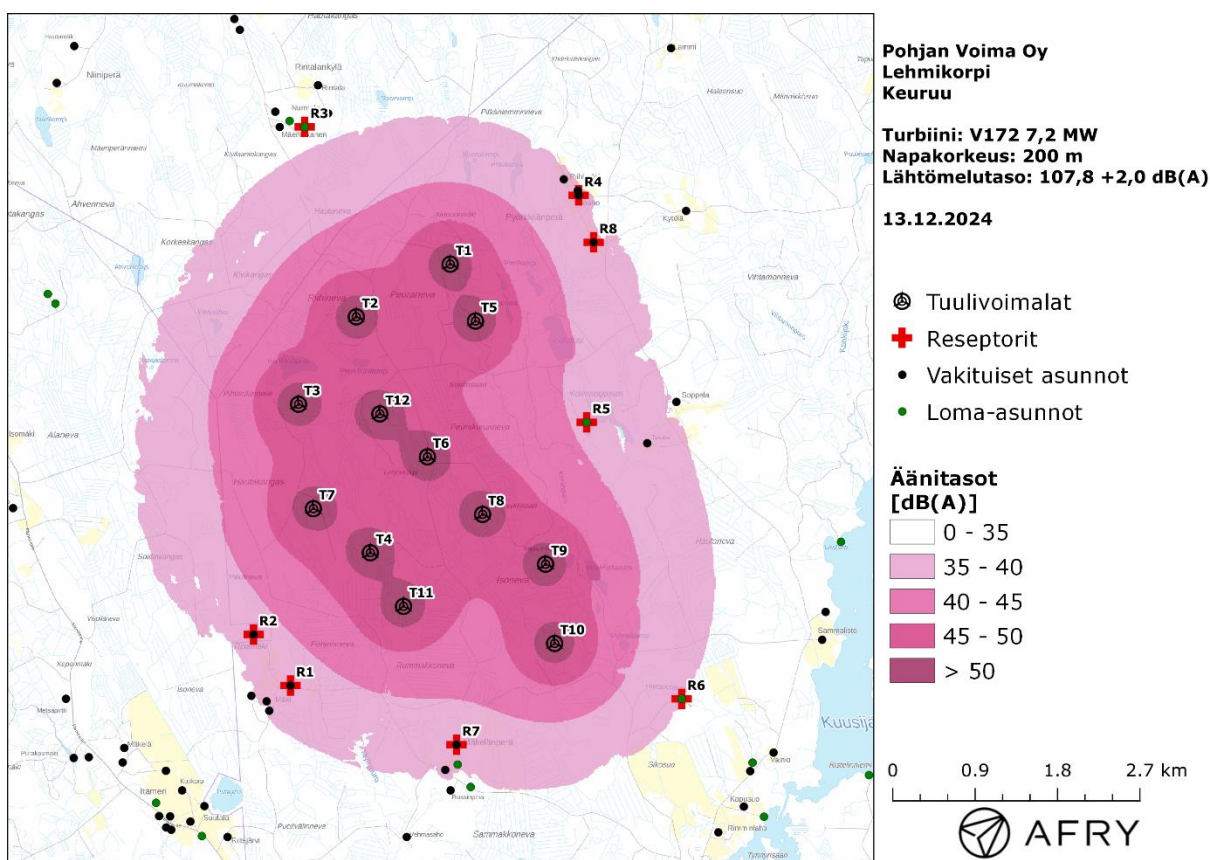


**Kuva 3-1: Reseptoreiden paikat Lehmikorven tuulivoimapuiston hankealueella.**

## Meluvaikutus

Tuulivoimaloiden aiheuttama mallinnettu keskiäänitaso LAeq on esitetty karttakuvana (Kuva 3-2). Alueen rakennustieto perustuu Maanmittauslaitoksen maastotietokannan aineistoon, jossa on eritelty alueen asuinrakennukset ja loma-asunnot. Karttakuvaan on merkitty keskiäänitasojen 40 dB(A), 45 dB(A) ja 50 dB(A) mukaiset vyöhykkeet, joita käytetään apuna tulosten arvioinnissa.

Keskiäänitasot reseptoreiden kohdilla on lueteltu taulukossa (Taulukko 3-2). Mallinnustulosten perusteella keskiäänitasot jäävät valtioneuvoston asetuksen 40 dB(A):n ohjearvon alapuolelle kaikkien alueen asuin- ja lomarakennusten kohdilla.



**Kuva 3-2: Keskiäänitasot LAeq Lehmikorven tuulivoimapuiston hankealueella.**

**Taulukko 3-2: Keskiäänitasot LAeq reseptoripisteiden kohdilla.**

Reseptori	Äänitaso dB(A)
R1	37,4
R2	38,1
R3	33,9
R4	35,8
R5	38,5
R6	35,3
R7	37,2
R8	36,7

### 3.2 Matalataajuisen melun mallinnus

Matalataajuisen melun laskenta on suoritettu ympäristöministeriön mallinnusohjeistuksen mukaisesti [7]. Laskennan lähtötietona on käytetty samoja valmistajan ilmoittamia melun taajuusjakauksia kuin keskiäänitasojen mallinnuksessa, mutta rajoittuen 1/3-oktaaveittain taajuuksille 20–200 Hz. Matalataajuisen melun laskenta suoritetaan taajuuspainottamattomilla melutasoilla.

#### Meluvaikutus

Matalataajuisen melun arvioinnissa käytetään Suomen asumisterveysasetuksessa määritellyjä taajuuskohtaisia arvoja, jotka antavat toimenpiderajat matalataajuisen melun yöaikaisille *sisämelutasoille* (Taulukko 2-2). Ympäristöministeriön ohjeistuksen mukainen mallinnus antaa matalataajuisen *ulkomelun* tasot voimaloita lähimpien rakennusten kohdilla. Tulokset eivät siis ole suoraan vertailukelpoisia asumisterveysasetuksen arvoihin, vaan tulkinnassa pitää huomioida myös rakennusten ulkovaipan ääneneristävyys.

Ympäristöministeriön ohjeiden mukainen matalataajuisen melun laskenta perustuu Tanskan ympäristöhallinnon ohjeissa esitettyyn menetelmään [3], jonka parametreihin on tehty joitakin Suomen olosuhteisiin perustuvia tarkennuksia. Tanskan menetelmässä on määritetty rakennuksesta aiheutuva äänitasoero ( $\Delta L_{\sigma}$ ) taajuuskaistoittain, jolloin saadaan laskettua myös sisämelutasot ja toimenpiderajoihin verrannolliset mallinnustulokset.

Tässä raportissa käytetyt rakennusten parametrit perustuvat tutkimukseen suomalaisten pientalojen äänieristävyiden arvoista [4]. Turun ammattikorkeakoulussa tehdyssä tutkimuksessa esitetyt arvot perustuvat suomalaisissa pientaloissa tehtyihin mittauksiin, joiden avulla on johdettu tilastollinen estimaatti talojen ääneneristävyyksille eri taajuuksilla. Artikkelin [4] äänitasoerot ylittyvät 84 % todennäköisyydellä suomalaisissa pientaloissa, ja ne ovat selkeästi alhaisempia kuin Tanskan ympäristöhallinnon ohjeissa annetut arvot. Ne antavat siten konservatiivisen arvion rakennusten aiheuttamalle ääneneristävyydelle, ja tässä raportissa vertailurakennusten matalataajuisia sisämelutasoja arvioidaan käyttäen näitä alempia äänitasoeroja. Taulukossa (Taulukko 3-3) on esitetty sekä Tanskan ympäristöhallinnon ohjeissa että artikkelissa [4] annetut äänitasoerot.

**Taulukko 3-3: Rakennuksen äänitasoerot taajuuskaistoittain.**

Taajuus [Hz]	20	25	31,5	40	50	63	80	100	125	160	200
Äänitasoero [dB] (Tanskan ohjeistus)	6,6	8,4	10,8	11,4	13,0	16,6	19,7	21,2	20,2	21,2	-
Äänitasoero [dB] (viite [4])	7,6	8,3	9,2	10,3	11,5	13,0	14,8	16,8	18,8	21,1	22,8

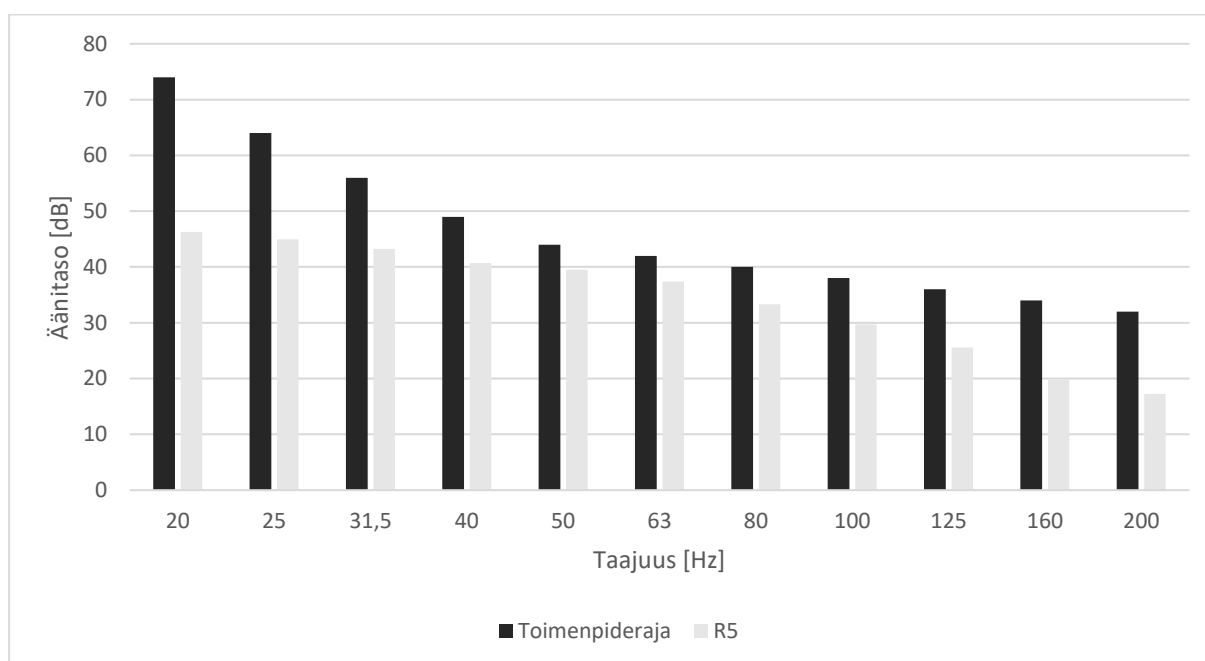
Melutasoja tarkastellaan aiemmin määriteltyjen reseptoreiden paikoilla. Lisäksi lasketaan sisämelutasot eniten melulle altistuvassa kohteessa käyttäen alempia äänitasoeroja (Taulukko 3-3) ja verrataan näitä tuloksia Asumisterveysasetuksen arvoihin. Tuulivoimaloiden aiheuttama matalataajuinen ulkomelutaso reseptoreiden kohdilla taajuuskaistoittain ja ilman taajuuspainotusta on lueteltu taulukossa (Taulukko 3-4). Taulukkoon on eritelty ohjeistuksen mukaisesti lasketut ulkotilojen melutasot.

Korkeimmat matalataajuisen melun tasot kohdistuvat reseptoripisteeseen R5, jonka kohdalla on laskettu myös sisämelutasot ja verrattu niitä Asumisterveysasetuksen arvoihin

(Kuva 3-3). Kun otetaan huomioon rakennuksien ääneneristävyys, melutasot jäävät toimenpiderajojen alapuolelle koko taajuusvälillä.

**Taulukko 3-4: Matalataajuisen ulkomelun äänitasot (dB) reseptoreiden kohdilla.**

Taajuus	20	25	31,5	40	50	63	80	100	125	160	200
R1	52,4	51,8	51,0	49,5	49,5	48,9	46,6	45,0	42,8	39,2	38,4
R2	52,9	52,3	51,5	50,0	50,0	49,4	47,1	45,5	43,4	39,8	39,0
R3	50,0	49,3	48,5	47,0	47,0	46,3	44,1	42,3	40,1	36,4	35,3
R4	51,2	50,5	49,7	48,3	48,3	47,6	45,4	43,7	41,5	37,8	36,9
R5	53,9	53,3	52,4	51,0	51,0	50,4	48,1	46,5	44,4	40,9	40,1
R6	50,7	50,0	49,2	47,8	47,7	47,1	44,8	43,1	40,9	37,3	36,3
R7	52,3	51,6	50,8	49,4	49,4	48,7	46,5	44,8	42,7	39,1	38,2
R8	51,8	51,2	50,4	48,9	48,9	48,3	46,0	44,3	42,2	38,6	37,7



**Kuva 3-3: Matalataajuisen sisämelun tasot reseptorin R5 kohdalla.**



## 4 YHTEENVETO

Raportissa on esitetty Keuruun kaupunkiin suunnitellun Lehmikorven tuulivoimapuiston ympäristölleen aiheuttaman meluvaikutuksen laskennallinen arvio. Arviointi on tehty 12 voimalan suunnitelmalla käyttäen tuulivoimalatyypin V172 7.2 MW PO7200 taajuusjakaumia ja napakorkeutta 200 m.

Mallinnusten perustella melutasot alueen loma- ja asuinrakennusten kohdilla jäävät alle valtioneuvoston ohjearvojen. Myös matalataajuisen melun tasot pysyvät kaikkien rakennusten kohdalla asumisterveysasetuksessa asetettujen arvojen alapuolella.

## 5 VIITTEET

- [1] C. Di Napoli: Tuulivoimaloiden melun syntytavat ja leviäminen, Suomen Ympäristö 4, 2007.
- [2] D. Siponen: Noise Annoyance of Wind Turbines, VTT Research Report VTTR-00951-11, 2011.
- [3] J. Jakobsen: Danish regulation for low frequency noise from wind turbines, Journal of Low Frequency Noise, Vibration and Active Control 31(4), 2012.
- [4] J. Keränen, J. Hakala, V. Hongisto: The sound insulation of façades at frequencies 5–5000Hz, Building and Environment 156, 2019.
- [5] S. Uosukainen: Tuulivoimaloiden melun synty, eteneminen ja häiritsevyys, VTT Tiedotteita 2529, 2010.
- [6] Sosiaali- ja terveysministeriön asetus asunnon ja muun oleskelutilan terveydellisistä olosuhteista sekä ulkopuolisten asiantuntijoiden pätevyysvaatimuksista. Sosiaali- ja terveysministeriö 2015.
- [7] Tuulivoimaloiden melun mallintaminen, Ympäristöhallinnon ohjeita 2|2014. Ympäristöministeriö.
- [8] Tuulivoimarakentamisen suunnittelu. Päivitys 2016. Ympäristöhallinnon ohjeita 5|2016. Ympäristöministeriö, 2016.
- [9] Valtioneuvoston asetus 1107/2015 tuulivoimaloiden ulkomelutason ohjearvoista. Astui voimaan 1.9.2015.
- [10] Valtioneuvoston päätös 993/1992 melutason ohjearvoista. Astui voimaan 1.1.1993.
- [11] Yhteenveto tuulivoimaloiden melupäästön takuuarvon käyttämisestä meluselvityksissä liittyvästä kyselystä. Ympäristöministeriö, 14.9.2016.
- [12] Ympäristömelun mittaaminen. Ympäristöministeriö, Ohje I 1995.
- [13] C. A. León: Trailing Edge Serrations, Effect of Their Flap Angle on Flow and Acoustics. 7th International Conference on Wind Turbine Noise, Rotterdam, 2nd to 5th May 2017.
- [14] M. Gupta, K. Madsen: Advancements in continuous learning for tonality free turbine design. Conference Proceedings. 8th International Conference on Wind Turbine Noise, Lissabon, June 12-14, 2019.
- [15] K. Bolin: The Influence of Background Sounds on Loudness and Annoyance of Wind Turbine Noise. Acta Acustica united with Acustica, Vol 98 (2012) pages 741-748.
- [16] D. Halstead, N. Tam: A study of background noise levels measured during far-field receptor testing of wind turbine facilities. Conference Proceedings. 8th International Conference on Wind Turbine Noise, Lissabon, June 12-14, 2019.
- [17] S. Oerlemans, J.G. Schepers: Prediction of wind turbine noise directivity and swish, Proc. 3rd Int. conference on wind turbine noise, Aalborg, Denmark, 2009.

## 6 MELUMALLINNUKSEN TIEDOT

Raportin ja raportioijan tiedot							
Mallinnusraportin numero/tunniste: <b>101024341-007.000</b>				Raportin hyväksyntäpäivämäärä: <b>16.12.2024</b>			
Tekijä/organisaatio, yhteystiedot: <b>AFRY Finland Oy</b>							
Vastuuhenkilöt: <b>Erkki Heikkola ja Helmi Uusitalo</b>							
Laatija: <b>Helmi Uusitalo</b>				Tarkastaja/hyväksyjä: <b>Erkki Heikkola</b>			
Mallinnusohjelman tiedot							
Mallinnusohjelma ja versio: <b>AFRY Numerola -mallinnusohjelmisto</b>				Mallinnusmenetelmä: <b>ISO 9613-2</b>			
Tuulivoimalan/Tuulivoimaloiden tiedot							
Tuulivoimalan valmistaja: <b>Vestas</b>				Tyyppi: <b>V172 7.2 MW PO7200 (with serrated trailing edges)</b>		Sarjanumero/t:	
Nimellisteho: <b>7.2 MW</b>		Napakorkeus: <b>200 m</b>		Roottorin halkaisija: <b>172 m</b>		Tornin tyyppi:	
Mahdollisuudet vaikuttaa tuulivoimalan melupäästöön käytön aikana ja sen vaikutus meluun							
Lapakulman säätö		Pyörimisnopeus			Muu, mikä		
Kyllä	dB	Kyllä	dB			dB	
Ei	<b>Ei tiedossa</b>	Ei	<b>Ei tiedossa</b>			dB	
Akustiset tiedot/Laskennan lähtötiedot							
Melupäästötiedot (valmistajan ilmoittamat melupäästön tunnusarvot)							
<ul style="list-style-type: none"> <li>Third octave noise emission EnVentus™ V172. Document no. 0128-4336_01. 2024-11-29.</li> </ul> Alla oleviin arvoihin on jo lisätty 2 dB:n varmuusarvo.							
Oktaaveittain [Hz]		1/3-oktaaveittain [Hz]					
31,5		20	64,7	200	97,7	2000	97,2
63	91,8	25	69,9	250	99,2	2500	96,6
125	98,8	31,5	74,6	315	98,9	3150	96,8
250	103,4	40	78,4	400	97,8	4000	96,3
500	102,4	50	83,0	500	97,4	5000	92,0
1000	103,0	63	86,9	630	97,6	6300	85,7
2000	101,9	80	89,2	800	98,2	8000	81,4
4000	100,3	100	91,7	1000	98,4	10000	77,2
8000	87,5	125	94,0	1250	98,0		
		160	95,6	1600	97,5		

<b>Melun erityispiirteiden mittaus ja havainnot:</b>											
Kapeakaistaisuus/ tonaalisuus		Impulssimaisuus		Merkityksellinen sykintä (amplitudi- modulaatio)			Muu, mikä:				
kyllä	<b>ei</b>	kyllä	<b>ei</b>	kyllä	<b>ei</b>	kyllä	<b>ei</b>	kyllä	<b>ei</b>		
Laskentakorkeus						Laskentaruudun koko [m x m]					
<b>4 m</b>						<b>10 m x 10 m</b>					
Suhteellinen kosteus						Lämpötila					
<b>70 %</b>						<b>15 C°</b>					
Maastomallin lähde ja tarkkuus											
Maastomallin lähde: <b>Maanmittauslaitos</b>						Vaakaresoluutio: <b>2 m</b>		Pystyresoluutio: <b>0,3 m</b>			
Maan- ja vedenpinnan absorptio ja heijastuksen huomioiminen, käytetyt kertoimet											
<b>ISO 9613-2</b>											
Vesialueet, (0) / (G)											
Maa-alueet, (0,4) / (A-D/E-F)											
Maa-alueet (0) / (G)											
Ilmakehän stabiilius laskennassa/meteorologinen korjaus											
<b>Neutraali</b>											
Voimalan äänen suuntaavuus ja vaimentuminen											
<b>Vapaa avaruus</b>											
Melulle altistuvat asukkaat ja kohteet, lkm (ilman meluntorjuntaa/voimalan ohjausta)											
Asukkaat: <b>0 kpl</b>				Vapaa-ajan rakennukset: <b>0 kpl</b>				Hoito- ja oppilaitokset: <b>0 kpl</b>			
Melulle altistuvat asukkaat ja kohteet, lkm (meluntorjunta/voimalan ohjaus huomioiden)											
Asukkaat: <b>0 kpl</b>				Vapaa-ajan rakennukset: <b>0 kpl</b>				Hoito- ja oppilaitokset: <b>0 kpl</b>			
Melun leviäminen virkistys- tai luonnonsuojelualueille											
Virkistysalueet: <b>0 kpl</b>						Luonnonsuojelualueet: <b>0 kpl</b>					
Lineaariset melutasot [dB] altistuvien kohteiden (rakennusten) ulkopuolella:											
Hz	20	25	31,5	40	50	63	80	100	125	160	200
R1	52,4	51,8	51,0	49,5	49,5	48,9	46,6	45,0	42,8	39,2	38,4
R2	52,9	52,3	51,5	50,0	50,0	49,4	47,1	45,5	43,4	39,8	39,0
R3	50,0	49,3	48,5	47,0	47,0	46,3	44,1	42,3	40,1	36,4	35,3
R4	51,2	50,5	49,7	48,3	48,3	47,6	45,4	43,7	41,5	37,8	36,9
R5	53,9	53,3	52,4	51,0	51,0	50,4	48,1	46,5	44,4	40,9	40,1
R6	50,7	50,0	49,2	47,8	47,7	47,1	44,8	43,1	40,9	37,3	36,3
R7	52,3	51,6	50,8	49,4	49,4	48,7	46,5	44,8	42,7	39,1	38,2
R8	51,8	51,2	50,4	48,9	48,9	48,3	46,0	44,3	42,2	38,6	37,7



# **Pohjan Voima Oy**

## Lehmikorven tuulivoimahanke

Tuulivoimapuiston välkeselvitys

16.12.2024

Copyright © AFRY Finland Oy

Kaikki oikeudet pidätetään. Tätä asiakirjaa tai osaa siitä ei saa kopioida tai jäljentää missään muodossa ilman AFRY Finland Oy:n antamaa kirjallista lupaa.

AFRY Finland Oy:n projektinumero on 101024341-007.

Kannen kuva: © AFRY

Selvityksessä on käytetty Maanmittauslaitoksen ja Ilmatieteen laitoksen avoimien aineistojen käyttöluvien alaista materiaalia, jotka on lisensoitu Creative Commons Nimeä 4.0 Kansainvälinen -lisenssillä: <http://creativecommons.org/licenses/by/4.0/deed.fi>.

## YHTEYSTIEDOT

Hankkeesta vastaava:

**Pohjan Voima Oy**

Sami Merelä

sami.merela@pohjanvoima.fi

Tekijä:

**AFRY Finland Oy**

Helmi Uusitalo

helmi.uusitalo@afry.com

Wind and Solar Finland

[www.afry.com](http://www.afry.com)

Raportin tiedot:

Projektinumero: 101024341-007

Raporttiversio: 000

Raportin tila: VALMIS

Raporttihistoria:

Versio	Pvm/Laatija	Pvm/Tarkastaja	Merkinnät/Muutokset
000	16.12.2024/ Helmi Uusitalo, Technical consultant	16.12.2024/ Erkki Heikkola, Senior consultant	Alkuperäinen

## SISÄLLYS

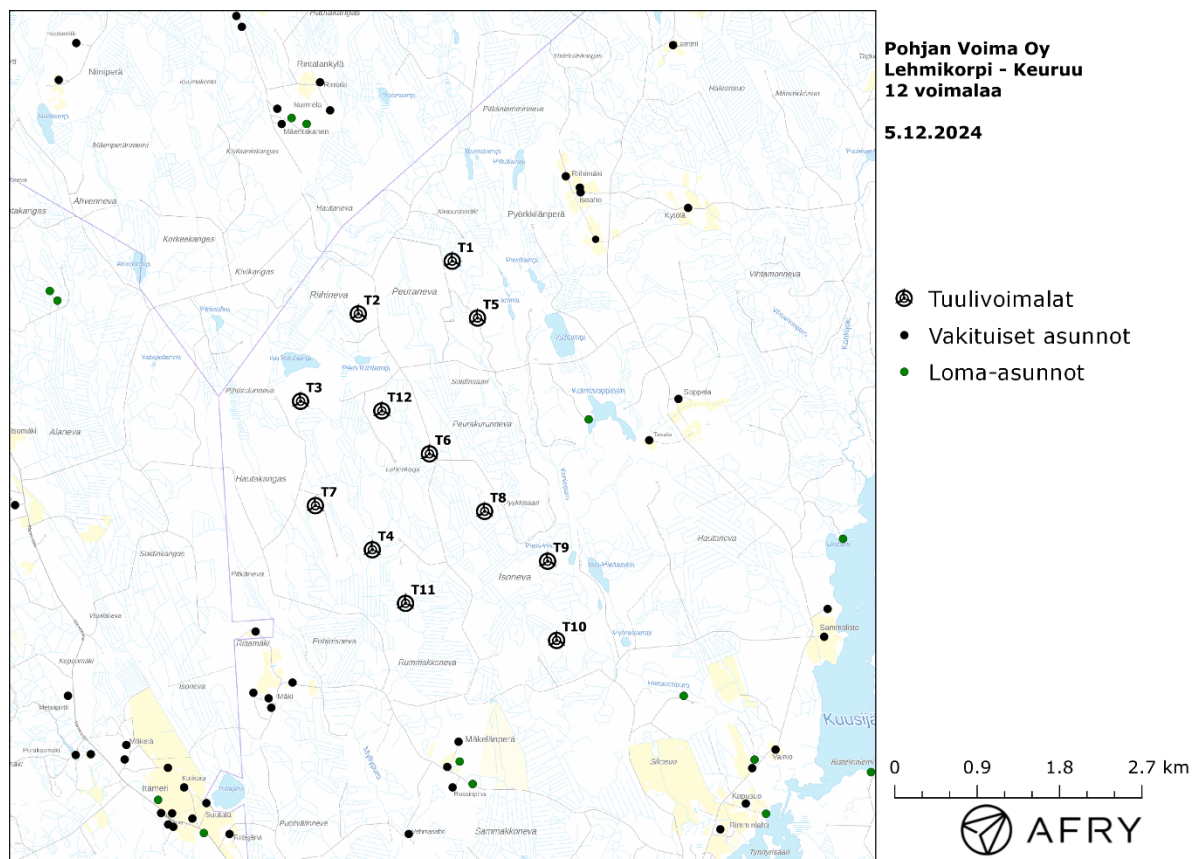
1	JOHDANTO .....	5
2	TUULIVOIMALOIDEN VÄLKE .....	7
2.1	Välkevaikutus.....	7
2.2	Välkkeen rajoittaminen.....	7
2.3	Arvioinnin epävarmuudet .....	7
2.4	Ohjeavot .....	8
3	TUULIVOIMAKOHTTEEN VÄLKEMALLINNUS .....	9
3.1	Mallinnusmenetelmä ja lähtöaineisto .....	9
3.2	Todennäköinen välkevaikutus.....	12
3.3	Teoreettinen välkevaikutus .....	14
4	YHTEENVETO.....	15
5	VÄLKEVAIKUTUKSEN LASKENTAMENETELMÄ .....	16
6	VIITTEET .....	18



# 1 JOHDANTO

Selvityksessä arvioidaan Keuruun kaupunkiin suunnitellun Lehmikorven tuulivoimapuiston aiheuttamaa välkevaikutusta laskennallisten mallien avulla. Arviointi on tehty 12 voimalan suunnitelmalle. Voimaloiden sijainnit on esitetty karttapohjalla kuvassa (Kuva 1-1) ja koordinaatit annettu taulukossa (Taulukko 1-1).

Mallinnuksissa voimaloille on käytetty napakorkeutta 200 m ja roottorin halkaisijaa 178 m. Voimaloiden lapaprofiili on määritetty voimalatyypin V162 valmistajan ilmoittaman lapaprofiilin avulla, jonka pituus on kasvatettu 89 metriin. Profiilia on samalla levennetty siten, että lavan levein kohta on 4,5 m (V162:n lapaprofiilin levein kohta on 4,3 m).



**Kuva 1-1: Tuulivoimaloiden sijainnit Lehmikorven hankealueella.**

**Taulukko 1-1: Tuulivoimaloiden (12 kpl) sijaintikoordinaatit ETRS-TM35FIN-koordinaatissa ja maaston korkeus tuulivoimalan paikalla.**

Tuulivoimalat	E	N	Maaston korkeus [m]
T1	347991	6919701	184
T2	346979	6919129	197
T3	348557	6919181	199
T4	347658	6918471	169
T5	346348	6918175	189
T6	347990	6917712	179
T7	346510	6917035	188
T8	348359	6916973	173
T9	347132	6916554	171
T10	349145	6916483	173
T11	347580	6915912	161
T12	349146	6915564	190

## 2 TUULIVOIMALOIDEN VÄLKE

### 2.1 Välkevaikutus

Välkevaikutuksella tarkoitetaan tilannetta, jossa Auringon paisteen ja tarkastelupisteen väliin jäävän voimalan lavat aiheuttavat välkkyvän varjon. Välke voi ulottua pisimmillään 1–3 km etäisyydelle voimalasta. Välkevaikutuksen etäisyyteen ja kestoon vaikuttavat tuulivoimalan korkeus ja roottorin halkaisija, vuoden- ja vuorokaudenaika, maaston muodot sekä näkyvyyttä rajoittavat tekijät kuten kasvillisuus ja pilvisuus.

Suomen sijainnin vuoksi yksittäisen tuulivoimalan välkevaikutus kohdistuu valtaosin voimalan pohjoispuolelle (päiväaika) sekä lounais- ja kaakkoispuolelle (aamu- ja ilta-ajat). Suomessa voimala aiheuttaa välkevaikutusta eteläpuolelleen vain pohjoisen napapiirin pohjoispuolella.

Välkevaikutuksen laskenta voi perustua joko teoreettisen maksimivälkkeen tai todennäköisen tilanteen mallinnukseen:

- Teoreettisen maksimivälkkeen laskennassa oletetaan, että päiväaikaan Aurinko paistaa jatkuvasti, tuulivoimalan roottori pyörii jatkuvasti, ja roottori on aina kohdisuorassa Aurinkoa kohden.
- Todennäköisen tilanteen mallinnuksessa otetaan huomioon paikallinen tilastollinen aineisto auringonpaisteen määrästä ja ajoittumisesta sekä tuulen suuntien ja nopeuksien jakautumisesta.

Tämän selvityksen väkelaskenta on tehty mallintamalla sekä todennäköinen välkeaika että teoreettinen maksimivälke.

### 2.2 Välkkeen rajoittaminen

Välkevaikutusta voidaan vähentää voimalakohtaisella välkkeen hallintatyökalulla (shadow flicker protection system), joka sisältää valoanturin ja välkkeenhallintasovelluksen. Työkalun avulla voimala voidaan pysäyttää joko havaitun auringonpaisteen perusteella ja/tai haluttuina vuoden- ja kellonaikoina. Pysäytetty voimala ei aiheuta välkettä.

### 2.3 Arvioinnin epävarmuudet

Mallinnettu todennäköinen välkevaikutus perustuu auringonpaisteen ja tuulisuuden tilastolliseen aineistoon. Yksittäisen vuoden sääolosuhteet saattavat poiketa merkittävästi keskimääräisistä olosuhteista, jolloin vuotuinen välkevaikutus voi poiketa mallinnetusta arvosta. Auringonpaisteen aineisto on saatu Jyväskylän sääasemalta, josta etäisyys hankealueeseen on noin 90 km.

Mallinnuksessa ei ole huomioitu paikallisen puuston vaikutusta voimaloiden näkyvyyteen ja välkevaikutukseen. Puusto voi rajoittaa merkittävästi näkyvyyttä turbiineille ja vähentää vuotuista välkevaikutusta. Puuston näkyvyyttä peittävä vaikutus vaihtelee kuitenkin vuosien ja vuodenaikojen suhteen, minkä vuoksi puuston välkettä vähentävää vaikutusta ei pystytä arvioimaan tarkasti.

Rakennuksiin kohdistuvan välkkeen laskennassa käytetään ns. kasvihuone-oletusta, jolloin rakennukseen kohdistuva välkevaikutus huomioidaan riippumatta suunnasta. Välkevaikutuksen laskennallinen arvio kuvaa siis välkevaikutusta ulkona. Rakennusten sisätiloissa välkevaikutus on yleensä vähäisempi, koska välkevaikutus kohdistuu rakennuksen sisätiloihin vain ikkunoiden suunnasta.

## 2.4 Ohjearvot

Tuulivoimaloiden välkevaikutukselle ei ole Suomessa määritelty ohjearvoja. Ympäristöministeriön ohjeissa tuulivoimapuiston suunnitteluun suositellaan käytettäväksi muiden maiden suosituksia välkemäärien osalta [4]. Tässä selvityksessä mallinnettuja välkeaikoja verrataan vakiintuneen käytännön mukaan Ruotsin, Tanskan ja Saksan ohjearvoihin. Välkkeen ohjearvoja sovelletaan asutuksen kohdalla, eikä esimerkiksi eläimiin tai luontoon kohdistuvasta välkevaikutuksesta ole ohjearvoja tai arviointikriteerejä.

Tanskassa on määritetty todennäköisen vuotuisen välketuntimäärän suositusarvoksi 10 tuntia. Ruotsissa vastaava todennäköisen välkkeen suositusarvo on 8 tuntia vuodessa ja korkeintaan 30 minuuttia päivässä [2]. Saksassa teoreettisen maksimivälkkeen raja-arvot ovat korkeintaan 30 tuntia vuodessa ja 30 minuuttia päivässä. Saksassa todellinen vuotuisen välkevaikutus ohjeistetaan rajoittamaan 8 tuntiin, jos voimalaan asennetaan välkkeen hallintatyökalu.

## 3 TUULIVOIMAKOHTTEEN VÄLKEMALLINNUS

### 3.1 Mallinnusmenetelmä ja lähtöaineisto

Tuulivoimaloiden aiheuttama välkevaikutus (shadow flicker) arvioitiin AFRY Numerola -mallinnusohjelmistolla, joka huomioi auringon paikan vuoden eri aikoina, tuulivoima-alueen ja sen ympäristön maastonmuodot sekä tuulivoimaloiden dimensiot. Laskennan tuloksena saadaan tieto siitä, kuinka monta tuntia vuodessa alueen eri kohteet ovat välkevaikutuksen alaisena. Tulosta havainnollistetaan tasa-arvokäyrästä, jonka perusteella voidaan arvioida varjostusvaikutusta tarkastelualueella.

Tarkastelualueiden maanpinnan korkeuserot on saatu Maanmittauslaitoksen aineistosta *Korkeusmalli 10 m*. Korkeusdatan vaakaresoluutio on 10 m ja pystysuorainen tarkkuus 1,4 m. Laskennassa huomioitiin korkeuserot siten, että jos Auringon, tuulivoimalan ja tarkastelupisteen kautta kulkeva jana leikkaa maanpintaa, niin varjostusta ei esiinny. Välkevaikutus laskettiin 2 m korkeudelle. Auringonpaistekulman rajana horisontista käytettiin kolmea astetta, jonka alle menevää säteilyä ei oteta huomioon varjostuksessa.

Tuulivoimalan lapojen aiheuttama varjo heikkenee asteittain liikuttaessa etäämmälle tuulivoimalasta, eikä tietyn etäisyyden jälkeen varjo ole enää ihmissilmin havaittavissa. Tämä etäisyys riippuu tuulivoimalan lavan leveydestä, ja esimerkiksi Ruotsin tuulivoimarakentamisen suunnitteluohjeistuksessa määritellään, että välkevaikutus huomioidaan mikäli lapa peittää vähintään 20 % Auringosta. Käytännössä tämä asettaa lavan leveydestä riippuvan maksimietäisyyden yksittäisen tuulivoimalan aiheuttamalle välkevaikutukselle, eikä sen ulkopuolella välkevaikutusta ole.

Yleensä välkelaskennan maksimietäisyyden laskenta perustuu lavan keskimääräiseen leveyteen, joka määrää maksimietäisyyden. Käytännössä tuulivoimalan lapa ei ole vakioleveyinen: Levein kohta sijaitsee lähellä tuulivoimalan napaa, ja lapa kapenee huomattavasti kärkeä kohti liikuttaessa. Tällä perusteella lavan tyven välkevaikutus ulottuu huomattavasti pidemmälle kuin lavan kärjen, mikäli arviointiperusteena käytetään Auringon peittoastetta. Tässä selvityksessä välkelaskennassa ei ole käytetty tavanomaista maksimietäisyyttä, vaan on huomioitu tuulivoimalan muuttuva lapaprofiili.

Välkelaskennassa puiston nimi voimaloille on käytetty napakorkeutta 200 m ja roottorin halkaisijaa 178 m. Voimaloiden lapaprofiili on arvioitu voimalatyypin Vestas V162 valmistajan ilmoittamalla lavan profiilitiedolla, joka on skaalattu lavan pituuden ja leveyden suhteen vastaamaan 178 metrin roottorin halkaisijaa. Laskentamenetelmän yksityiskohdat on kuvattu luvussa 5.

Todelliseen välkevaikutukseen vaikuttavat tuulivoimaloiden käyttöaste, puusto ja paikallinen säätila (pilvisuus ja tuulisuus). Jos esimerkiksi tuulen suunta on kohtisuorassa auringon ja tarkastelupisteen välistä linjaa vasten, ei varjostusvaikutusta esiinny. Varjostuksen laskennassa tuulivoimalan orientaatio voidaan määrittää, jolloin roottori oletetaan tiettyyn suuntaan asetetuksi ympyrätasoksi. Todennäköisen välkevaikutuksen laskenta on suoritettu kuudella eri tuulivoimalan orientaatiolla. Tämä vastaa 12 tuulen suuntasektorin varjostustuloksia, sillä vastakkaiset tuulensuunnat aiheuttavat välkkeen kannalta efektiivisesti saman roottorin orientaation. Kullakin tuulen suunnalla laskettua välketuntimäärää on skaalattu Suomen tuuliatlaksesta [1] saatavan suuntasektorin esiintymisfrekvenssillä ja suuntakohtaisesta nopeusjakaumasta määritellyn tuulivoimalan käyntinopeuksien ajalliseksi osuudella. Käynnistysnopeutta alemmissa tai pysäytysnopeutta korkeammissa tuulissa tuulivoimalat ovat paikallaan, jolloin roottorin pyörimisestä aiheutuvaa valon

välkkymistä ei esiinny. Suomen tuuliatlaksen tuulisuusestimaatti on otettu tuulivoima-alueen keskeltä korkeudelta 200 m, ja sen perusteella lasketut suuntasektorikohtaiset osuudet tuulivoimalan käyntinopeusvälille osuville tuulille on lueteltu taulukossa (Taulukko 3-1).

Paikallinen pilvisuus on huomioitu skaalaamalla eri roottoriorientaatioilla laskettuja varjotusaikoja Jyväskylän sääasemalta mitattujen auringonpaistetuntien suhteellisella osuudella teoreettisesta maksimipaistetuntien määrästä [3]. Sääaseman mittausten perusteella lasketut kuukausittaiset auringonpaisteen todennäköisyydet on koottuna taulukkoon (Taulukko 3-2). Suuntakohtaisesti skaalatut välketuntimäärät yhteen laskien saadaan arvio todellisesta, säätilan huomioonottavasta välketuntimäärästä tarkastelualueella.

**Taulukko 3-1: Suuntasektorikohtaiset osuudet yli 3 m/s tuulenopeuksille Suomen tuuliatlaksen perusteella.**

Suuntasektori	0/180	30/210	60/240	90/270	120/300	150/330
Yli 3 m/s osuus	0,180	0,165	0,165	0,138	0,137	0,157

**Taulukko 3-2: Auringonpaisteen kuukausittaiset todennäköisyydet Jyväskylän sääasemalla.**

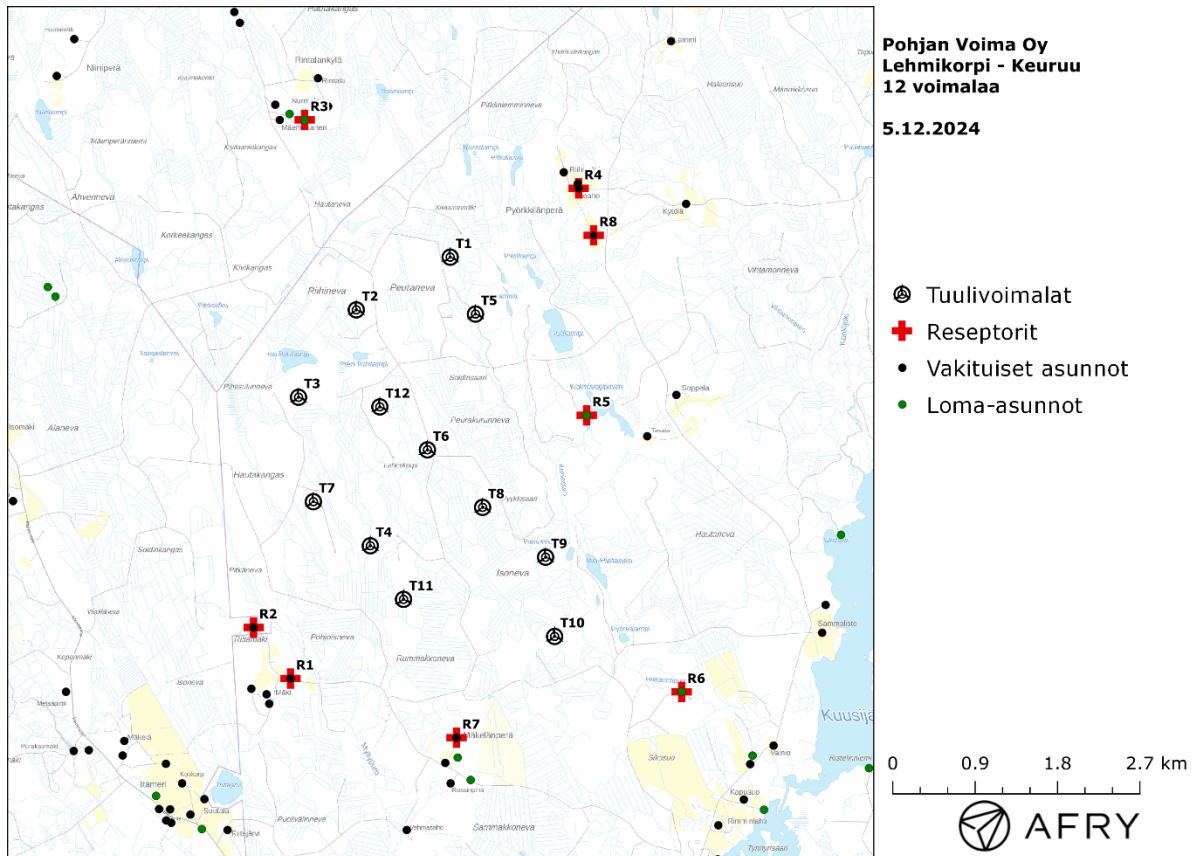
Kuukausi	Auringonpaisteen todennäköisyys
Tammikuu	0,131
Helmikuu	0,256
Maaliskuu	0,373
Huhtikuu	0,402
Toukokuu	0,456
Kesäkuu	0,412
Heinäkuu	0,447
Elokuu	0,419
Syyskuu	0,315
Lokakuu	0,191
Marraskuu	0,095
Joulukuu	0,062

Taulukossa (Taulukko 3-3) on määritelty tuulivoimaloiden ympäristöstä 8 pistettä, joiden kohdilla välkevaikutusta tarkastellaan tarkemmin. Pisteet on valittu asuntojen kohdilta, joihin kohdistuu suurin välkevaikutus. Näitä pisteitä kutsutaan reseptoreiksi, ja niiden paikat suhteessa tuulivoimaloihin on esitetty karttapohjalla (Kuva 3-1). Reseptorit sijaitsevat noin 1,5-2,1 km etäisyydellä voimaloista.

Hankealueella, noin 520 metriä voimalan T2 kaakkoispuolella sijaitsee myös rakennus- ja huoneistotietorekisterin mukaisia muita kuin asuin- tai lomarakennuskäyttöön tarkoitettuja rakennuksia. Muita kuin asuin- tai lomarakennuksia ei ole otettu huomioon välkevaikutusten arvioinnissa.

**Taulukko 3-3: Reseptorien koordinaatit ETRS-TM35FIN-koordinaatistossa.**

Reseptori	E	N	Maaston korkeus [m]	Rakennusluokitus
R1	346261	6915103	177	vakituinen asunto
R2	345858	6915660	187	vakituinen asunto
R3	346416	6921201	203	loma-asunto
R4	349409	6920454	189	vakituinen asunto
R5	349497	6917976	175	loma-asunto
R6	350535	6914957	159	loma-asunto
R7	348075	6914457	185	vakituinen asunto
R8	349573	6919941	191	vakituinen asunto

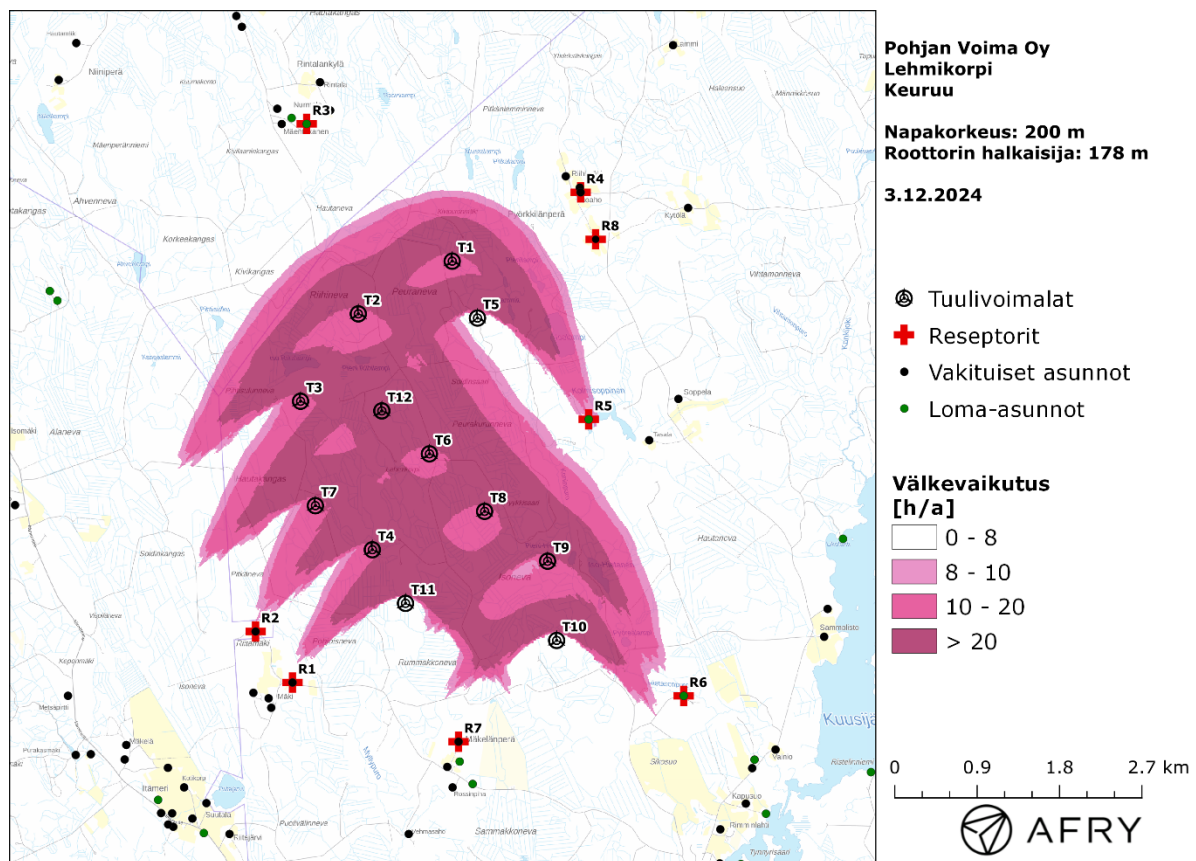

**Kuva 3-1: Reseptoreiden paikat Lehmikorven tuulivoimapuiston hankealueella.**

### 3.2 Todennäköinen välkevaikutus

Mallinnetut arviot todennäköisten välketuntien vuotuisesta määrästä on esitetty karttaku-  
 vana (Kuva 3-2). Mallinnuksessa ei ole huomioitu paikallisen puuston vaikutusta tuulivoi-  
 maloiden näkyvyyteen ja välkevaikutukseen. Karttoihin on merkitty ympäristössä sijaitse-  
 vat loma- ja asuinrakennukset käyttäen lähtötietona Maanmittauslaitoksen maastotieto-  
 kannan sisältämiä tietoja.

Mallinnusten perusteella vuotuinen todennäköinen välkevaikutus jää enintään Ruotsin 8  
 tunnin ohjearvoon kaikkien lähialueen asuin- ja lomarakennusten kohdalla. Myös päivä-  
 kohtainen todennäköinen välkeaika alittaa Ruotsin 30 minuutin ohjearvon kaikkien alueen  
 asuntojen kohdalla. Vuotuiset todennäköiset välkevaikutusajat ja suurimmat päiväkohtai-  
 set maksimivälkkeet reseptorien kohdalla on lueteltu taulukossa (Taulukko 3-4).

Todennäköisen välkkeen tarkempi ajoittuminen reseptorin R5 kohdalla on esitetty taulu-  
 kossa (Taulukko 3-5). Taulukossa esitetyt kellonajat ovat aikavyöhykkeen UTC+2 mukaisia  
 (Suomen talviaika).



**Kuva 3-2: Tuulivoimaloiden aiheuttama todennäköisen välkkeen määrä ilman puuston vai-  
 kutusta.**



**Taulukko 3-4: Todennäköinen välkevaikutus tunteina ja minuutteina [h:min] reseptoreiden kohdalla.**

Reseptori	Todennäköinen vuotuinen välkeaika	Todennäköisen välkkeen päiväkohtainen maksimi
R1	3:51	0:07
R2	5:24	0:08
R3	0:33	0:02
R4	1:36	0:05
R5	8:00	0:09
R6	4:32	0:07
R7	0:00	0:00
R8	2:15	0:05

**Taulukko 3-5: Todennäköisen välkevaikutuksen ajoittuminen ja kesto tunteina ja minuutteina [h:min] reseptorin R5 kohdalla.**

Kellonaika	0-2	2-4	4-6	6-8	8-10	10-12	12-14	14-16	16-18	18-20	20-22	22-24	
Tammikuu	0:00	0:00	0:00	0:00	0:00	0:00	0:37	0:00	0:00	0:00	0:00	0:00	0:37
Helmikuu	0:00	0:00	0:00	0:00	0:00	0:00	0:00	0:41	0:00	0:00	0:00	0:00	0:41
Maaliskuu	0:00	0:00	0:00	0:00	0:00	0:00	0:00	0:00	0:26	0:06	0:00	0:00	0:32
Huhtikuu	0:00	0:00	0:00	0:00	0:00	0:00	0:00	0:00	0:00	0:03	0:00	0:00	0:03
Toukokuu	0:00	0:00	0:00	0:00	0:00	0:00	0:00	0:00	0:00	0:00	0:24	0:00	0:24
Kesäkuu	0:00	0:00	0:00	0:00	0:00	0:00	0:00	0:00	0:00	0:00	2:35	0:00	2:35
Heinäkuu	0:00	0:00	0:00	0:00	0:00	0:00	0:00	0:00	0:00	0:00	1:38	0:00	1:38
Elokuu	0:00	0:00	0:00	0:00	0:00	0:00	0:00	0:00	0:00	0:00	0:00	0:00	0:00
Syyskuu	0:00	0:00	0:00	0:00	0:00	0:00	0:00	0:00	0:26	0:03	0:00	0:00	0:29
Lokakuu	0:00	0:00	0:00	0:00	0:00	0:00	0:00	0:30	0:00	0:00	0:00	0:00	0:30
Marraskuu	0:00	0:00	0:00	0:00	0:00	0:00	0:20	0:00	0:00	0:00	0:00	0:00	0:21
Joulukuu	0:00	0:00	0:00	0:00	0:00	0:00	0:09	0:00	0:00	0:00	0:00	0:00	0:09
<b>Yhteensä</b>	<b>0:00</b>	<b>0:00</b>	<b>0:00</b>	<b>0:00</b>	<b>0:00</b>	<b>0:00</b>	<b>1:07</b>	<b>1:11</b>	<b>0:52</b>	<b>0:12</b>	<b>4:37</b>	<b>0:00</b>	<b>8:00</b>

### 3.3 Teoreettinen välkevaikutus

Teoreettisen maksimivälkkeen vuotuiset ja suurimmat päiväkohtaiset välkevaikutusajat reseptoreiden kohdilla on lueteltu taulukossa (Taulukko 3-6). Lomarakennuksen R5 kohdalla vuotuinen teoreettinen välkevaikutus ylittää Saksan 30 tunnin ohjearvon ja teoreettisen maksimivälkkeen suurin päiväkohtainen arvo ylittää Saksan 30 minuutin ohjearvon. Teoreettisen maksimivälkkeen ajoittuminen reseptorin R5 kohdalla on esitetty taulukossa (Taulukko 3-7). Taulukossa esitetyt kellonajat ovat aikavyöhykkeen UTC+2 mukaisia (Suomen talviaika).

Saksan ohjearvot teoreettiselle maksimivälkkeelle eivät sovellu hyvin Suomen olosuhteisiin, sillä Suomessa aurinko paistaa eri kulmasta kuin Saksassa ja auringonpaisteen todennäköisyys on erilainen. Suomessa pimeimpään vuodenaikaan aurinko paistaa matalalta, mikä voi synnyttää paikoitellen suurta teoreettista maksimivälkettä, vaikka talvisin auringonpaisteen todennäköisyys on Suomessa alhainen. Toisinaan myös Suomen kesä- ja heinäkuun auringonnousut – ja laskut voivat aiheuttaa joinakin päivinä teoreettisesti suuria päiväkohtaisia välkeajoja. Todennäköisyys sille, että juuri noina päivinä voimat aiheuttavat maksimaalisen välkkeen on alhainen. Lisäksi auringonnousun ja -laskun aikaan paiste on hyvin viistoa, jolloin puusto voi vähentää välkevaikutusta merkittävästi. Näiden seikkojen vuoksi 6 minuutin teoreettisen päiväkohtaisen maksimivälkeajan ylitystä ei voida pitää merkittävänä. Teoreettinen maksimivälke tässä tapauksessa yliarvioi todellista välkevaikutusta, mikä ilmenee todennäköisen välkkeen mallinnetusta tasosta, joka pysyy ohjearvossa.

**Taulukko 3-6: Teoreettinen välkevaikutus tunteina ja minuutteina [h:min] reseptoreiden kohdilla.**

Reseptori	Teoreettinen vuotuinen välkeaika	Teoreettisen välkkeen päiväkohtainen maksimi
R1	14:51	0:30
R2	20:47	0:30
R3	6:12	0:13
R4	12:27	0:21
R5	49:17	0:36
R6	17:58	0:25
R7	0:00	0:00
R8	13:35	0:22

**Taulukko 3-7: Teoreettisen maksimivälkkeen ajoittuminen ja kesto tunteina ja minuutteina [h:min] reseptorin R5 kohdalla.**

Kellonaika	0-2	2-4	4-6	6-8	8-10	10-12	12-14	14-16	16-18	18-20	20-22	22-24	
Tammikuu	0:00	0:00	0:00	0:00	0:00	0:00	7:30	0:00	0:00	0:00	0:00	0:00	7:30
Helmikuu	0:00	0:00	0:00	0:00	0:00	0:00	0:00	4:21	0:00	0:00	0:00	0:00	4:21
Maaliskuu	0:00	0:00	0:00	0:00	0:00	0:00	0:00	0:00	2:00	0:28	0:00	0:00	2:28
Huhtikuu	0:00	0:00	0:00	0:00	0:00	0:00	0:00	0:00	0:00	0:13	0:00	0:00	0:13
Toukokuu	0:00	0:00	0:00	0:00	0:00	0:00	0:00	0:00	0:00	0:00	1:31	0:00	1:31
Kesäkuu	0:00	0:00	0:00	0:00	0:00	0:00	0:00	0:00	0:00	0:00	10:32	0:00	10:32
Heinäkuu	0:00	0:00	0:00	0:00	0:00	0:00	0:00	0:00	0:00	0:00	6:07	0:00	6:07
Elokuu	0:00	0:00	0:00	0:00	0:00	0:00	0:00	0:00	0:00	0:00	0:00	0:00	0:00
Syyskuu	0:00	0:00	0:00	0:00	0:00	0:00	0:00	0:00	2:17	0:20	0:00	0:00	2:37
Lokakuu	0:00	0:00	0:00	0:00	0:00	0:00	0:00	4:14	0:04	0:00	0:00	0:00	4:18
Marraskuu	0:00	0:00	0:00	0:00	0:00	0:00	5:39	0:07	0:00	0:00	0:00	0:00	5:45
Joulukuu	0:00	0:00	0:00	0:00	0:00	0:00	3:55	0:00	0:00	0:00	0:00	0:00	3:55
<b>Yhteensä</b>	<b>0:00</b>	<b>0:00</b>	<b>0:00</b>	<b>0:00</b>	<b>0:00</b>	<b>0:00</b>	<b>17:04</b>	<b>8:42</b>	<b>4:21</b>	<b>1:48</b>	<b>18:10</b>	<b>0:00</b>	<b>49:17</b>

## 4 YHTEENVETO

Raportissa on esitetty Keuruun kaupunkiin suunnitellun Lehmikorven tuulivoimapuiston ympäristölleen aiheuttaman välkevaikutuksen laskennallinen arvio. Vaikutusten arviointi on tehty 12 voimalan suunnitelmalle, roottorin halkaisijalla 178 m ja napakorkeudella 200 m.

Välkevarjostusmallinnuksen mukaan vuotuinen todennäköinen välkevaikutus jää enintään Ruotsin 8 tunnin ohjearvoon kaikkien asuin- ja lomarakennusten kohdalla. Myös todennäköinen päiväkohtainen välkeaika alittaa Ruotsin 30 minuutin ohjearvon kaikkien loma- ja asuinrakennusten kohdilla. Vuotuinen teoreettinen maksimivälke sekä teoreettinen päiväkohtainen maksimivälke ylittävät Saksan ohjearvot yhden lomarakennuksen kohdalla. Saksan ohjearvot teoreettiselle maksimivälkkeelle eivät sovellu hyvin Suomen olosuhteisiin, sillä Suomessa aurinko paistaa eri kulmasta kuin Saksassa ja auringonpaisteen todennäköisyys on erilainen. Suomessa pimeimpään vuodenaikaan aurinko paistaa matalalta, mikä voi synnyttää paikoitellen suurta teoreettista maksimivälkettä, vaikka talvisin auringonpaisteen todennäköisyys on Suomessa alhainen. Teoreettinen maksimivälke tässä tapauksessa yliarvioi todellista välkevaikutusta, mikä ilmenee todennäköisen välkkeen mallinnetusta tasosta, joka pysyy ohjearvossa.

## 5 VÄLKEVAIKUTUKSEN LASKENTAMENETELMÄ

Välkevaikutuksen laskennassa hyödynnetään taivaanpallon käsitettä, joka on maapallon maantieteellistä koordinaatistoa vastaava kuvitteellinen kuori katsottaessa maapallolta taivaalle. Samalla tavoin kuin paikan sijainti maapallolla voidaan ilmoittaa pituus- ja leveyspiirien avulla, voidaan taivaankappaleiden paikat taivaanpallolla ilmoittaa kahden koordinaatin (rektaskensio ja deklinaatio) avulla. Aurinko kulkee vuoden aikana taivaanpallolla kääntöpiirien väliin asettuvalla nauhalla, ja Auringon esiintymistiheys kyseisellä nauhalla voidaan esittää tiheysfunktiona.

Tiettyyn pisteeseen kohdistuvaa vuotuista välkevaikutusta laskettaessa tarkastellaan sitä osaa taivaanpallosta, joka näkyy pisteeseen tuulivoimaloiden roottorikehien läpi. Näkyvyyden arvioinnissa otetaan huomioon paikallinen maaston korkeusaineisto. Mikäli kääntöpiirien väliin asettuva nauha ei näy roottorikehien läpi, tarkastelupisteeseen ei kohdistu välkevaikutusta. Muussa tapauksessa yksittäisen tuulivoimalan aiheuttamien välketuntien määrä saadaan integroimalla tiheysfunktiota tuulivoimalan roottorikehien läpinäkyvällä taivaanpallon osuudella. Tuulivoimaloiden yhteisvaikutus saadaan summaamalla tuulivoimalakohtaiset välketunnit ottaen kuitenkin huomioon mahdolliset päällekkäisyydet roottorikehien peittämässä alueissa. Laskenta suoritetaan erikseen tuulivoimaloiden eri orientaatioille, joita skaalataan suuntakohtaisilla tuulusuusuksilla.

Huomioitaessa kuukausittaista (tai muuta lyhytaikaista) vaihtelua auringonpaisteen todennäköisyydessä, taivaanpallon nauha jaetaan vastaaviin osiin Auringon deklinaation mukaan. Tiheysfunktio määritellään näissä osissa erikseen, ja integroinnin tuloksia skaalataan kuukausikohtaisilla todennäköisyyksillä.

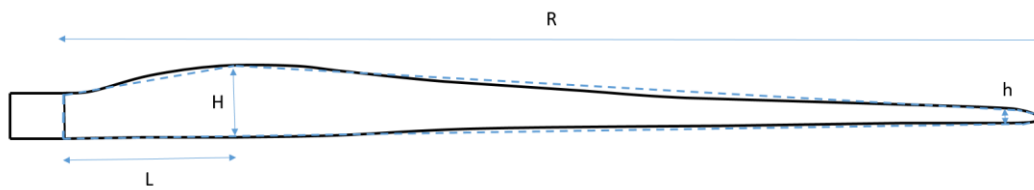
Tuulivoimalan lapojen aiheuttama varjo heikkenee asteittain liikuttaessa etäämmälle tuulivoimalasta, eikä tietyn etäisyyden jälkeen varjo ole enää ihmissilmin havaittavissa. Tämä etäisyys riippuu tuulivoimalan lavan leveydestä, ja esimerkiksi Ruotsin ja Saksan tuulivoimarakentamisen suunnitteluohjeistuksessa määritellään, että välkevarjostus huomioidaan, mikäli lapa peittää vähintään 20 % Auringosta. Käytännössä tämä asettaa lavan leveydestä riippuvan maksimietäisyyden yksittäisen tuulivoimalan aiheuttamalle välkevaikutukselle, eikä sen ulkopuolella välkevaikutusta ole.

Kun lavan leveys on  $w$  metriä, niin 20 % Auringon peittoon perustuvan välkevarjostuksen maksimietäisyyden määrittämiseen voidaan johtaa laskentakaava

$$\text{maksimietäisyys} = (5 * d * w) / 1'097'780,$$

missä  $d$  on etäisyys Aurinkoon (150'000'000 km). Yleensä välkelaskennan maksimietäisyyden laskenta perustuu lavan keskimääräiseen leveyteen, joka määrää maksimietäisyyden. Käytännössä tuulivoimalan lapa ei ole vakiolevyinen: Levein kohta sijaitsee lähellä tuulivoimalan napaa ja lapa kapenee huomattavasti kärkeä kohti liikuttaessa. Tällä perusteella lavan tyven välkevaikutus ulottuu huomattavasti pidemmälle kuin lavan kärjen, mikäli arviointiperusteena käytetään Auringon peittoastetta.

Seuraavassa kaaviokuvassa (Kuva 5-1) on esitetty malli tyypillisestä profiilista, jossa lavan maksimileveys on  $H$  etäisyydellä  $L$  lavan tyvestä. Lavan kokonaispituus on  $R$  ja lavan leveys 90 % etäisyydellä tyvestä on  $h$ . Lavan oletetaan kapenevan lineaarisesti arvosta  $H$  arvoon  $h$  liikuttaessa maksimikohdasta kärkeen. Tavanomaisesti välkelaskennassa tuulivoimalan keskimääräinen leveys on määritetty parametrien  $H$  ja  $h$  keskiarvona.



**Kuva 5-1: Tuulivoimalan lavan malliprofiili.**

Tämän raportin välkелaskennassa käytetään tuulivoimavalmistajan ilmoittamiin tietoihin perustuvaa lavan profiilitietoa. Laskennassa huomioitava roottorin säde vaihtelee välillä  $[0, R]$  riippuen tarkastelupisteen etäisyydestä turbiineihin sekä lavan leveydestä ja sitä vastaavasta Auringon peittoasteesta. Tällä tavoin välkелaskennassa huomioidaan tuulivoimalan muuttuva lapaprofiili, ja saadaan realistisempia tuloksia kuin olettamalla tietty keskimääräinen lavan leveys ja sitä vastaava kiinteä maksimietäisyys.

## 6 VIITTEET

- [1] B. Tammelin et al.: Production of the Finnish Wind atlas. Wind Energy, 2011.
- [2] Boverket: *Vindkraftshandboken*, Planering och prövning av vindkraftverk på land och i kustnära vattenområden, 2009.
- [3] P. Jokinen et al.: Tilastoja Suomen ilmastosta ja merestä 1990-2020, Ilmatieteen laitos, Raportteja 2021:8.
- [4] Tuulivoimarakentamisen suunnittelu. Päiväys 2016. Ympäristöhallinnon ohjeita 5|2016.